

Emergence d'une phase relative  
sous l'effet des processus de détection (suite)

⑤ Evolution de la distribution de phase relative (T-157 à T-177)

- Etat initial - Description en termes d'états cohérents
- Problèmes étudiés
- Evolution d'un produit d'états cohérents
  - dans une phase d'évolution cohérente
  - lors d'un processus de détection
- Distribution de phase relative après le détection
- Probabilité de détecter un atome en  $x_{k+1}$  après le détection
- Résultats de simulations numériques
- Étude analytique du comportement asymptotique de la distribution de phase relative.
  - Déplacement du maximum de la distribution après une détection
  - Affinement de la distribution

Brouillage de la phase relative  
sous l'effet des interactions

① Introduction (T-178 à T-180)

- Problème étudié
- Fonction de corrélation caractérisant la cohérence entre 2 condensats

② Etude qualitative (T-181 à T-183)

- En l'absence d'interactions
- En présence d'interactions

③ Etude quantitative (T-184 à T-188)

- Calcul de la fonction de corrélation
- Temps de cohérence et temps de récurrence.

Evolution de la distribution  $W(\varphi)$ de la phase relative  $\varphi$ 

T-157

Etat initial des 2 condensats

A  $t=0$ , on suppose que la phase relative  $\varphi$  entre les 2 condensats n'est pas définie

Equipartie entre 0 et  $2\pi$

Description de cet état initial

Mélange statistique d'états cohérents relatifs

- Produit de 2 états cohérents

$$|\alpha_1\rangle \otimes |\alpha_2\rangle = |\alpha_1, \alpha_2\rangle$$

$$\alpha_1 = A_1 e^{i\theta_1} \quad \alpha_2 = A_2 e^{i\theta_2}$$

$$A_1 = |\alpha_1| = \sqrt{N_1}, \quad A_2 = |\alpha_2| = \sqrt{N_2}$$

$$\varphi = \theta_1 - \theta_2 = \text{Phase relative}$$

- Etat cohérent relatif (voir T-87)

$$\hat{P}_{AA}(\varphi) = \frac{1}{2\pi} \int_0^{2\pi} d\theta_1 \hat{P}_{AA}(\varphi)$$

$$|A_1 e^{i\theta_1}, A_2 e^{i(\theta_1-\varphi)}\rangle \langle A_1 e^{i\theta_1}, A_2 e^{i(\theta_1-\varphi)}|$$

Distribution initiale  $W^{(0)}(\varphi)$  de  $\varphi$ 

T-155

On peut écrire

$$\begin{aligned} \hat{P}(t=0) &= \frac{1}{2\pi} \int_0^{2\pi} d\varphi \hat{P}_{AA}(\varphi) \\ &= \int_0^{2\pi} W^{(0)}(\varphi) \hat{P}_{AA}(\varphi) \end{aligned}$$

La distribution initiale  $W^{(0)}(\varphi)$  de  $\varphi$  est donc

$$W^{(0)}(\varphi) = \frac{1}{2\pi}$$

Problèmes étudiés dans ce cours

① Après  $k$  détections d'atomes qui ont donné un atome en  $x_1$ , un atome en  $x_2$ , ..., un atome en  $x_k$ , peut-on calculer la nouvelle distribution de la phase relative  $\varphi$  ?

Nous verrons qu'on peut donner une expression analytique de  $W(\varphi/x_1, \dots, x_k, x_1)$ , où ce qui revient au même de  $W(\varphi/\varphi_1, \dots, \varphi_k, \varphi_1)$  où l'on a noté  $\varphi_1 = 2\pi x_1$ ,  $\varphi_2 = 2\pi x_2$ , ...,  $\varphi_k = 2\pi x_k$ .

- Etat initial

T-158

Mélange statistique d'états cohérents relatifs avec une phase relative  $\varphi$  équipartie entre 0 et  $2\pi$

$$\begin{aligned} \hat{P}(t=0) &= \hat{P}^{(0)} = \frac{1}{2\pi} \int_0^{2\pi} d\varphi \hat{P}_{AA}(\varphi) \\ &= \left(\frac{1}{2\pi}\right)^2 \int_0^{2\pi} d\varphi \int_0^{2\pi} d\theta_1 |A_1 e^{i\theta_1}, A_2 e^{i(\theta_1-\varphi)}\rangle \langle A_1 e^{i\theta_1}, A_2 e^{i(\theta_1-\varphi)}| \end{aligned}$$

Mélange statistique de produits d'états cohérents  $|A_1 e^{i\theta_1}\rangle \otimes |A_2 e^{i(\theta_1-\varphi)}\rangle$   $A_1$  et  $A_2$  fixes -  $\varphi$  et  $\theta_1$  équiparties

- On supposera pour simplifier  $A_1 = A_2 = A$

- Procédure de calcul

Le calcul sera fait à partir d'un état initial produit de 2 états cohérents, ce qui permet d'obtenir des expressions analytiques pour les diverses probabilités

Ces probabilités seront ensuite moyennées sur  $\theta_1$  et  $\varphi$

② Après  $k$  détections qui ont donné un atome en  $x_1$ , ..., un atome en  $x_k$ , peut-on calculer la probabilité de trouver un atome en  $x_{k+1}$  lors de la prochaine détection ?

Nous verrons la aussi qu'on peut donner une expression analytique de  $P(x_{k+1}/x_1, \dots, x_k, x_1)$

③ Peut-on comprendre comment évolue  $W(\varphi/\varphi_1, \dots, \varphi_k)$  au fur et à mesure que le nombre de détections augmente ?

Comment varie l'abscisse du maximum de cette fonction ?

Comment varie sa largeur ?

On suivra ici l'approche de la référence 1

Pour une autre approche utilisant des états de phase relative plutôt que de états cohérents relatifs, voir référence 2

Rappel de résultats du cours V

T-161

- Si le système part de  $|X_i\rangle$  à  $t=0$ , et si des détections se produisent en  $x_1 t_1$ , puis en  $x_2 t_2$

(i) l'état du système après ces 2 détections est proportionnel à

$$|u(x_2 t_2, x_1 t_1)\rangle = \hat{\psi}(x_2) e^{-i\hat{H}_{\text{eff}}(t_2-t_1)/\hbar} \hat{\psi}(x_1) e^{-i\hat{H}_{\text{eff}}(t_1)/\hbar} |X_i\rangle$$

(ii) la probabilité d'une telle séquence est égale à

$$p(x_2 t_2, x_1 t_1) = P^2 \langle u(x_2 t_2, x_1 t_1) | u(x_2 t_2, x_1 t_1) \rangle$$

(voir par exemple T-141)

- Ces résultats se généralisent aisément à k détections en  $x_1 t_1, x_2 t_2, \dots x_k t_k$
- On va voir que les expressions de  $|u\rangle$  et  $p$  se simplifient considérablement si l'état initial  $|X_i\rangle$  est un produit de 2 états cohérents  $|A e^{i\theta_1}, A e^{i(\theta_1-\varphi)}\rangle$

Action de  $\hat{\psi}(x)$  sur un produit d'états cohérents

T-163

$$\hat{\psi}(x) = \hat{a}_1 + \hat{a}_2 e^{2i\pi x} \quad (\text{voir T-136})$$

Comme  $|A e^{i\theta_1}, A e^{i(\theta_1-\varphi)}\rangle$  est état propre de  $\hat{a}_1$  ( $\hat{a}_2$ ), de valeur propre  $A e^{i\theta_1} [A e^{i(\theta_1-\varphi)}]$ , on a

$$\hat{\psi}(x) |A e^{i\theta_1}, A e^{i(\theta_1-\varphi)}\rangle = A e^{i\theta_1} [1 + e^{i(2\pi x - \varphi)}] |A e^{i\theta_1}, A e^{i(\theta_1-\varphi)}\rangle$$

Un état cohérent ne change donc pas lors d'un processus de détection. L'action de  $\hat{\psi}(x)$  se réduit à une multiplication par un nombre.

4 opérateurs agissent sur  $|X_i\rangle = |A e^{i\theta_1}, A e^{i(\theta_1-\varphi)}\rangle$  dans l'expression de  $|u(x_2 t_2, x_1 t_1)\rangle$  donnée dans (T-161)

- 2 opérateurs changent l'amplitude et la phase des états cohérents (exponentielles d'évolution)

- 2 opérateurs ne les changent pas [ $\hat{\psi}(x_1)$  et  $\hat{\psi}(x_2)$ ]

Action de  $e^{-i\hat{H}_{\text{eff}} t/\hbar}$  sur un produit

d'états cohérents

T-162

$$\begin{aligned} \hat{H}_{\text{eff}} &= \hbar(w_0 - i\frac{\Gamma}{2})(\hat{a}_1^\dagger \hat{a}_1 + \hat{a}_2^\dagger \hat{a}_2) \quad (\text{voir T-137}) \\ e^{-i(w_0 - i\frac{\Gamma}{2})t} \hat{a}_1^\dagger \hat{a}_1 |A e^{i\theta_1}\rangle &= \\ &= e^{-i(w_0 - i\frac{\Gamma}{2})t} \hat{N}_1 \sum_{N_1} e^{-A^2 t/2} \frac{|A e^{i\theta_1}\rangle}{\sqrt{N_1!}} |N_1\rangle \\ &= e^{-A^2 t/2} \sum_{N_1} (A e^{-\Gamma t/2})^{N_1} \frac{1}{\sqrt{N_1!}} e^{i(N\theta_1 - w_0 t)} |N_1\rangle \\ &\propto |A e^{-\Gamma t/2} e^{i(\theta_1 - w_0 t)}\rangle \end{aligned}$$

Un état cohérent reste donc un état cohérent dans une évolution régie par  $\hat{H}_{\text{eff}}$  avec les modifications suivantes

- L'amplitude A est réduite par un facteur  $e^{-\Gamma t/2}$

$$A \rightarrow A_t = A e^{-\Gamma t/2}$$

- la phase change de  $w_0 t$

$$\theta_1 \rightarrow \theta_1 - w_0 t$$

$$e^{-i\hat{H}_{\text{eff}} t/\hbar} |A e^{i\theta_1}, A e^{i(\theta_1-\varphi)}\rangle$$

$$\propto |A_t e^{i(\theta_1 - w_0 t)}, A_t e^{i(\theta_1 - w_0 t - \varphi)}\rangle$$

La phase relative  $\varphi$  ne change pas

Calcul de  $|u(x_2 t_2, x_1 t_1)\rangle$ 

T-164

- Effet de  $e^{-i\hat{H}_{\text{eff}} t_1/\hbar}$

$$A \rightarrow A e^{-\Gamma t_1/2} \quad \theta_1 \rightarrow \theta_1 - w_0 t_1$$

- Effet de  $e^{-i\hat{H}_{\text{eff}}(t_2-t_1)/\hbar}$

$$A e^{-\Gamma t_1/2} \rightarrow (A e^{-\Gamma t_1/2}) e^{-\Gamma(t_2-t_1)/2} = A e^{-\Gamma t_2/2}$$

$$\theta_1 - w_0 t_1 \rightarrow \theta_1 - w_0 t_1 - w_0(t_2 - t_1) = \theta_1 - w_0 t_2$$

- On en déduit que

$$|u(x_2 t_2, x_1 t_1)\rangle \propto |A_{t_2} e^{i(\theta_1 - w_0 t_2)}, A_{t_2} e^{i(\theta_1 - w_0 t_2 - \varphi)}\rangle$$

- Ces résultats se généralisent aisément à k détections en  $x_1 t_1, x_2 t_2, \dots x_k t_k$

- Après ces k détections, l'état du système est toujours un produit d'états cohérents dont les amplitudes sont réduites par un facteur  $e^{-\Gamma t_k/2}$  ne dépendant que de l'instant  $t_k$  de la dernière détection, toutes les phases ayant changé de  $-w_0 t_k$

$$|A_{t_k} e^{i\theta_1}, A_{t_k} e^{i(\theta_1 - \varphi)}\rangle$$

$$A_{t_k} = A e^{-\Gamma t_k/2} \quad \theta_1 = \theta_1 - w_0 t_k$$

Structure de  $p(x_2 t_2, x_1 t_1)$ 

T-165

Alors que l'évolution de l'état du système ne dépend que des exponentielles d'évolution, la probabilité de la suite de détectons, c.-à-d le carré de la norme de  $|u\rangle$ , ne dépend de  $\varphi, x_1, x_2$  que par l'intermédiaire des modules au carré des coefficients multiplicatifs apparaissant lors de l'action de  $\hat{\Psi}(x_1)$  et  $\hat{\Psi}(x_2)$

$$p(x_2 t_2, x_1 t_1) \propto |1 + e^{i(\varphi_1 - \varphi)}|^2 |1 + e^{i(\varphi_2 - \varphi)}|^2$$

$$\varphi_1 = 2\pi x_1, \quad \varphi_2 = 2\pi x_2$$

Le coefficient de proportionnalité est indépendant de  $\varphi, \varphi_1, \varphi_2, \theta$ , (il ne dépend que de  $t_1$  et  $t_2$ )

Généralisation

Si  $|\chi_i\rangle$  est un produit d'états cohérents

$$p(x_k t_k, \dots, x_1 t_1) \propto \prod_{i=1}^k |1 + e^{i(\varphi_i - \varphi)}|^2$$

Opérateur densité final après

T-167

 $k$  détectons en  $x_1, x_2 \dots x_k$ 

$$\hat{P}_{\text{final}} \propto \left(\frac{1}{2\pi}\right)^2 \int_0^{2\pi} d\varphi \int_0^{2\pi} d\varphi_1 \prod_{i=1}^k |1 + e^{i(\varphi_i - \varphi)}|^2 \times \\ |A_{t_k} e^{i\tilde{\theta}_k}, A_{t_k} e^{i(\tilde{\theta}_k - \varphi)}\rangle \langle A_{t_k} e^{i\tilde{\theta}_k}, A_{t_k} e^{i(\tilde{\theta}_k - \varphi)}|$$

L'intégrale sur  $\varphi_1$ , qui est aussi une intégrale sur  $\tilde{\theta}_k$ , fait apparaître l'état cohérent relatif  $P_{A_{t_k} A_{t_k}}(\varphi)$  [voir T-157] de sorte que  $\hat{P}_{\text{final}}$  peut s'écrire

$$\hat{P}_{\text{final}} \propto \frac{1}{2\pi} \int_0^{2\pi} d\varphi \prod_{i=1}^k |1 + e^{i(\varphi_i - \varphi)}|^2 \hat{P}_{A_{t_k} A_{t_k}}(\varphi)$$

On voit ainsi apparaître un mélange statistique d'états cohérents relatifs pour lesquels la phase relative  $\varphi$  n'est plus équipartie, mais répartie suivant une loi de probabilité  $W(\varphi / \varphi_k \dots \varphi_2 \varphi_1)$  proportionnelle à

$$\prod_{i=1}^k |1 + e^{i(\varphi_i - \varphi)}|^2 = \prod_{i=1}^k 4 \cos^2 \frac{\varphi_i - \varphi}{2} \\ = \prod_{i=1}^k 2 [1 + \cos(\varphi_i - \varphi)]$$

Récapitulation

T-166

- Si l'on part de  $|A e^{i\theta}, A e^{i(\theta - \varphi)}\rangle$ , on aboutit à  $|A_{t_k} e^{i\tilde{\theta}_k}, A_{t_k} e^{i(\tilde{\theta}_k - \varphi)}\rangle$  après  $k$  détectons en  $x_1 t_1, \dots, x_k t_k$ , et ce avec une probabilité proportionnelle à  $\prod_{i=1}^k |1 + e^{i(\varphi_i - \varphi)}|^2$
- L'état initial est en fait un mélange statistique d'états  $|A e^{i\theta}, A e^{i(\theta - \varphi)}\rangle$  avec des phases  $\theta$ , et  $\varphi$  équiparties
- Pour obtenir l'état final, il faut donc pondérer chaque opérateur densité final  $|A_{t_k} e^{i\tilde{\theta}_k}, A_{t_k} e^{i(\tilde{\theta}_k - \varphi)}\rangle \langle A_{t_k} e^{i\tilde{\theta}_k}, A_{t_k} e^{i(\tilde{\theta}_k - \varphi)}|$  par la probabilité  $\prod_{i=1}^k |1 + e^{i(\varphi_i - \varphi)}|^2$  d'arriver à un tel état final en partant d'un état initial caractérisé par  $\theta$ , et  $\varphi$ , puis moyennez les opérateurs densité ainsi obtenus sur  $\theta$ , et  $\varphi$

Distribution  $W(\varphi / \varphi_k \dots \varphi_1)$  de phase

T-168

Les calculs précédents montrent que, après  $k$  détectons en  $x_1 = \varphi_1/2\pi, \dots, x_k = \varphi_k/2\pi$ , la phase relative  $\varphi$ , initialement équipartie, devient distribuée suivant la loi

$$W(\varphi / \varphi_k \dots \varphi_1) = N \prod_{i=1}^k [1 + \cos(\varphi_i - \varphi)]$$

où  $N$  est un coefficient de normalisation

$$N = \int_0^{2\pi} d\varphi \prod_{i=1}^k [1 + \cos(\varphi_i - \varphi)]$$

Probabilité  $p(x_{k+1} / x_k \dots x_1)$  de détecter un atome en  $x_{k+1}$  après en avoir détecté un en  $x_1, \dots, un en x_k$ 

Après la suite de détectons en  $x_1, x_2 \dots x_k$ , l'opérateur densité du système est l'opérateur  $\hat{P}_{\text{final}}$  écrit en T-167

La probabilité de détecter un atome en  $x_{k+1}$  est donc égale à

$$p(x_{k+1} / x_k \dots x_1) = \Gamma \text{Tr } \hat{P}_{\text{final}} \hat{\Psi}^+(x_{k+1}) \hat{\Psi}(x_{k+1})$$

Expression de  $P(x_{k+1} / x_k \dots x_1)$ 

T-169

$$\hat{P}_{\text{final}} \propto \int_0^{2\pi} d\varphi W(\varphi / \varphi_k \dots \varphi_1) \hat{P}_{A_{t_k} A_{t_{k+1}}}(\varphi)$$

$$\text{Tr } \hat{P}_{A_{t_k} A_{t_{k+1}}}(\varphi) \hat{\psi}^+(x_{k+1}) \hat{\psi}(x_{k+1}) = \frac{1}{2\pi} \int_0^{2\pi} d\theta,$$

$$\langle A_{t_k} e^{i\tilde{\theta}_1}, A_{t_k} e^{i(\tilde{\theta}_1 - \varphi)} | \hat{\psi}^+(x_{k+1}) \hat{\psi}(x_{k+1}) / A_{t_k} e^{i\tilde{\theta}_1}, A_{t_k} e^{i(\tilde{\theta}_1 - \varphi)} \rangle$$

$$= A_{t_k}^2 |1 + e^{i(\varphi_{k+1} - \varphi)}|^2 = 2A_{t_k}^2 [1 + \cos(\varphi_{k+1} - \varphi)]$$

On en déduit que

$$P(x_{k+1} / x_k \dots x_1) = P(\varphi_{k+1} / \varphi_k \dots \varphi_1)$$

$$\propto \int_0^{2\pi} d\varphi W(\varphi / \varphi_k \dots \varphi_1) [1 + \cos(\varphi_{k+1} - \varphi)]$$

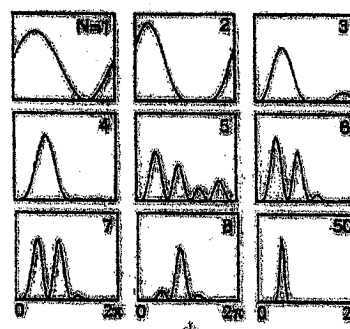
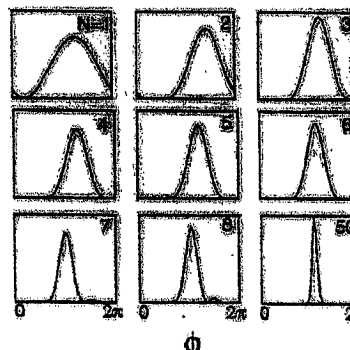
Possibilité, à partir des expressions ainsi obtenues pour  $W(\varphi / \varphi_k \dots \varphi_1)$  et  $P(\varphi_{k+1} / \varphi_k \dots \varphi_1)$  de faire

- soit des simulations numériques
- soit des études analytiques

Evolution de la distribution de phase

Figures extraites de la référence 1

T-170

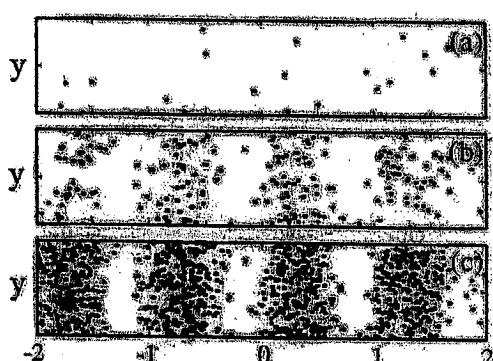
 $W(\varphi)$  $W(\varphi)$ 

2 simulations différentes montrant l'évolution de la distribution de phase avec le nombre  $N$  de détections

Evolution de la figure d'interférence

T-171

Simulation extraite de la ref. 1



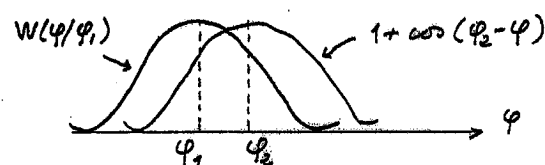
(a) 20 atomes détectés

(b) 200 atomes détectés

(c) 1000 atomes détectés

Evolution de la distribution de phase

- Après la 1<sup>re</sup> détection en  $x_1 = \varphi_1 / 2\pi$ ,  $W(\varphi / \varphi_1) \propto 1 + \cos(\varphi_1 - \varphi)$  est maximum en  $\varphi = \varphi_1$ .
- La probabilité d'avoir la 2<sup>me</sup> détection en  $\varphi_2$  est proportionnelle au produit de convolution de  $W(\varphi / \varphi_1)$  et  $1 + \cos(\varphi_2 - \varphi)$

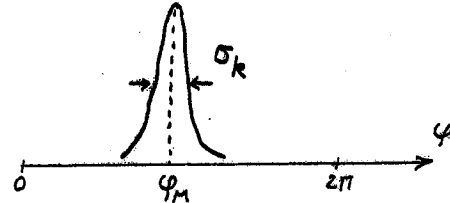


La probabilité d'avoir  $\varphi_2$  proche de  $\varphi$  est donc plus grande que celle d'avoir  $\varphi_2$  lointain.

- La distribution  $W$  après les 2 premières détections

$W(\varphi / \varphi_1, \varphi_2) \propto [1 + \cos(\varphi_1 - \varphi)][1 + \cos(\varphi_2 - \varphi)]$  aura donc une probabilité élevée d'être le produit de 2 fonctions ayant leurs maxima proches l'un de l'autre, et donc d'être plus étroite que  $W(\varphi / \varphi_1)$ .

Après un certain nombre de détections, de l'ordre d'une dizaine, on s'attend [T-173] donc à ce que  $W(\varphi/\varphi_k \dots \varphi_1)$  soit une fonction relativement étroite, centrée autour d'une valeur  $\varphi_M$ , de largeur  $\sigma_k$  petite devant l'intervalle,  $2\pi$ , de variation de  $\varphi$ . C'est ce que confirment d'ailleurs les simulations numériques (voir T-170).



Comment va évoluer  $W$  au cours des détections suivantes ?

La probabilité d'obtenir  $\varphi_{k+1}$  lors de la prochaine détection va être le produit de convolution de  $W(\varphi/\varphi_k \dots \varphi_1)$  par  $1 + \cos(\varphi_{k+1} - \varphi)$ . Comme la largeur  $\sigma_k$  de  $W$  est très petite devant celle de  $1 + \cos(\varphi_{k+1} - \varphi)$ , on a

$$P(\varphi_{k+1}/\varphi_k \dots \varphi_1) \propto 1 + \cos(\varphi_{k+1} - \varphi_M)$$

### Déplacement du centre de la nouvelle distribution $W(\varphi/\varphi_{k+1}, \varphi_k \dots \varphi_1)$

[T-175]

L'abscisse du nouveau maximum est donnée par  $\frac{d}{d\varphi} W(\varphi/\varphi_{k+1}, \varphi_k \dots \varphi_1) = 0$ .

On obtient (à partir de T-174)

$$\begin{aligned} \varphi - \varphi_M &= \frac{\frac{1}{2} \sin(\varphi_{k+1} - \varphi_M)}{\frac{1 + \cos(\varphi_{k+1} - \varphi_M)}{\sigma_k^2} + \frac{1}{2} \cos(\varphi_{k+1} - \varphi_M)} \\ &\approx \frac{\sigma_k^2}{2} \frac{\sin(\varphi_{k+1} - \varphi_M)}{1 + \cos(\varphi_{k+1} - \varphi_M)} \quad \text{car } \sigma_k^2 \ll 1 \end{aligned}$$

Le déplacement du maximum de  $W$  est donc proportionnel à  $\sigma_k^2$ .

Au fur et à mesure que  $\sigma_k^2$  décroît, le déplacement de  $W$  diminue.

Comme  $P(\varphi_{k+1}/\varphi_k \dots \varphi_1) \propto 1 + \cos(\varphi_{k+1} - \varphi_M)$  (voir T-173),  $\varphi_{k+1} - \varphi_M$  a une probabilité élevée d'être petit et  $\sin(\varphi_{k+1} - \varphi_M)$  a donc le même signe que  $\varphi_{k+1} - \varphi_M$ . Donc, le centre de  $W$  se déplace vers la valeur trouvée pour  $\varphi_{k+1}$ .

Supposons qu'on ait trouvé  $\varphi_{k+1}$

[T-174]

lors de la prochaine détection.

En approximant  $W(\varphi/\varphi_k \dots \varphi_1)$  par  $\exp[-(\varphi - \varphi_M)^2/\sigma_k^2]$ , on peut écrire

$$W(\varphi/\varphi_{k+1}, \varphi_k \dots \varphi_1) \propto e^{-[\varphi - \varphi_M]^2/\sigma_k^2} [1 + \cos(\varphi_{k+1} - \varphi)]$$

Comme la largeur de  $[1 + \cos(\varphi_{k+1} - \varphi)]$  est grande devant  $\sigma_k$ , on peut développer  $[1 + \cos(\varphi_{k+1} - \varphi)]$  au voisinage de  $\varphi = \varphi_M$  où la 1ère fonction est non nulle et obtenir ainsi

$$W(\varphi/\varphi_{k+1}, \varphi_k \dots \varphi_1) \propto e^{-[\varphi - \varphi_M]^2/\sigma_k^2} \times$$

$$\begin{aligned} &[1 + \cos(\varphi_{k+1} - \varphi_M) + (\varphi - \varphi_M) \sin(\varphi_{k+1} - \varphi_M) \\ &- \frac{1}{2} (\varphi - \varphi_M)^2 \cos(\varphi_{k+1} - \varphi_M) + \dots] \end{aligned}$$

Développons aussi  $e^{-(\varphi - \varphi_M)^2/\sigma_k^2}$ . Il vient

$$W(\varphi/\varphi_{k+1}, \varphi_k \dots \varphi_1) \propto 1 + \cos(\varphi_{k+1} - \varphi_M)$$

$$+ (\varphi - \varphi_M) \sin(\varphi_{k+1} - \varphi_M)$$

$$- (\varphi - \varphi_M)^2 \left[ \frac{1 + \cos(\varphi_{k+1} - \varphi_M)}{\sigma_k^2} + \frac{1}{2} \cos(\varphi_{k+1} - \varphi_M) \right]$$

### Largeur moyenne de la nouvelle distribution $W(\varphi/\varphi_{k+1}, \varphi_k \dots \varphi_1)$

[T-176]

Multiplications les divers termes de l'expression de  $W(\varphi/\varphi_{k+1}, \varphi_k \dots \varphi_1)$  donné à la fin de (T-174) par la probabilité  $1 + \cos(\varphi_{k+1} - \varphi_M)$  de trouver  $\varphi_{k+1}$  et intégrons sur  $\varphi_{k+1}$ . On obtient

$$W(\varphi/\varphi_{k+1}, \varphi_k \dots \varphi_1) \propto 1 + \frac{1}{2} +$$

$$+ (\varphi - \varphi_M)^2 \left[ \frac{1 + \frac{1}{2}}{\sigma_k^2} + \frac{1}{2} \times \frac{1}{2} \right]$$

$$= \frac{3}{2} - (\varphi - \varphi_M)^2 \frac{3}{2} \left[ \frac{1}{\sigma_k^2} + \frac{1}{6} \right]$$

$$= \frac{3}{2} \left[ 1 - (\varphi - \varphi_M)^2 \left[ \frac{1}{\sigma_k^2} + \frac{1}{6} \right] \right] \propto e^{-\frac{(\varphi - \varphi_M)^2}{\sigma_{k+1}^2}}$$

$$\text{avec } \frac{1}{\sigma_{k+1}^2} = \frac{1}{\sigma_k^2} + \frac{1}{6}$$

$$\text{On a donc } \sigma_{k+1} < \sigma_k$$

La distribution  $W$  s'affine donc en moyenne après chaque nouvelle détection.

Comportement asymptotique de la longueur de  $W(\varphi_1 \varphi_2 \dots \varphi_k)$  quand  $k \rightarrow \infty$  T-177

$$\frac{1}{\sigma_{k+1}^2} = \frac{1}{\sigma_k^2} + \frac{1}{6}$$

$$\frac{1}{\sigma_{k+2}^2} = \frac{1}{\sigma_{k+1}^2} + \frac{1}{6} \quad \dots$$

$$\frac{1}{\sigma_{k+N}^2} = \frac{1}{\sigma_k^2} + \frac{N}{6} \approx \frac{N}{6} \text{ quand } N \gg \frac{1}{\sigma_k^2}$$

Au bout d'un nombre  $N$  suffisamment grand de détections, la longueur de  $W$  décroît donc comme  $\sqrt{N}$

La distribution de phase relative s'affine donc de plus en plus, en  $\sqrt{N}$ , quand le nombre  $N$  de détections croît

Après chaque détection, le centre de  $W$  se déplace d'une quantité proportionnelle à  $\frac{1}{N}$  dans le sens de la nouvelle valeur trouvée

Brouillage de la phase relative entre 2 condensats dû aux interactions

Problème étudié (Refs 2 à 5) T-178

- 2 condensats bien séparés, dans 2 pièges différents 1 et 2  
On suppose  $\bar{N}_1 = \bar{N}_2 = \bar{N}$

- A  $t=0$ , on suppose qu'il y a une phase relative  $\varphi$  bien définie entre les 2 condensats.

Ils sont décrits par un état cohérent relatif  $\hat{\rho}_{AA}(\varphi)$ . Mélange statistique de produits d'états cohérents

$$|A e^{i\theta_1}, A e^{i(\theta_1-\varphi)}\rangle$$

avec  $A = \sqrt{\bar{N}}$  et  $\varphi$  fixé,  $\theta_1$  équitable

- Les interactions entre atomes à l'intérieur de chaque condensat sont décrites par une théorie de champ moyen

On néglige les interactions entre atomes du condensat 1 et atomes du condensat 2

Grandeur physique étudiée T-179

$G^{(1)}(\vec{r}_1, \vec{r}_2, t)$ : Fonction de corrélation d'ordre 1 entre 2 points :  $\vec{r}_1$  situé dans le condensat 1,  $\vec{r}_2$  dans le condensat 2

$$G^{(1)}(\vec{r}_1, \vec{r}_2, t) = \text{Tr}\{\hat{\rho}(t)\hat{\psi}^+(\vec{r}_1)\hat{\psi}(\vec{r}_2)\}$$

$\hat{\rho}(t)$ : Opérateur densité du système à l'instant  $t$ , parti à l'instant  $t=0$  de  $\hat{\rho}_{AA}(\varphi)$

$$\hat{\psi}(\vec{r}) = \psi_1(\vec{r}) \hat{a}_{\psi_1} + \psi_2(\vec{r}) \hat{a}_{\psi_2}$$

$$\hat{\psi}^+(\vec{r}) = \psi_1^*(\vec{r}) \hat{a}_{\psi_1}^+ + \psi_2^*(\vec{r}) \hat{a}_{\psi_2}^+$$

$\psi_1(\vec{r})$  ( $\psi_2(\vec{r})$ ): Fonctions d'onde décrivant l'état dans lequel sont condensés les atomes du condensat 1 (2). Solutions de l'équation de Gross-Pitaevskii correspondant à  $\bar{N}$  atomes. (On néglige les variations de  $\psi_1$  et  $\psi_2$  quand  $N$  varie de  $\sqrt{N}$  autour de  $\bar{N}$ . Par contre, on tient compte des variations de  $E(N)$ ).

Expression de  $G^{(1)}(\vec{r}_1, \vec{r}_2, t)$  T-180

Comme  $\psi_1(\vec{r}_1) = \psi_2(\vec{r}_1) = 0$ , on a

$$G^{(1)}(\vec{r}_1, \vec{r}_2, t) = \psi_1^*(\vec{r}_1) \psi_2(\vec{r}_2) \text{Tr}\{\hat{\rho}(t) \hat{a}_{\psi_1}^+ \hat{a}_{\psi_2}\}$$

Valeur de  $G^{(1)}(\vec{r}_1, \vec{r}_2, 0)$

$$\text{Tr}\{\hat{\rho}(0) \hat{a}_{\psi_1}^+ \hat{a}_{\psi_2}\} = \frac{1}{2\pi} \int_0^{2\pi} d\theta_1$$

$$\langle A e^{i\theta_1}, A e^{i(\theta_1-\varphi)} | \hat{a}_{\psi_1}^+ \hat{a}_{\psi_2} | A e^{i\theta_1}, A e^{i(\theta_1-\varphi)} \rangle = \frac{1}{2\pi} \int_0^{2\pi} d\theta_1 A e^{i(\theta_1-\varphi)} A e^{-i\theta_1} = A^2 e^{-i\varphi}$$

Pour simplifier, on va supposer  $\varphi = 0$

$$G^{(1)}(\vec{r}_1, \vec{r}_2, 0) = A^2 \psi_1^*(\vec{r}_1) \psi_2(\vec{r}_2) = \bar{N} \psi_1^*(\vec{r}_1) \psi_2(\vec{r}_2)$$

Il y a donc une cohérence spatiale non nulle entre les 2 condensats à l'instant initial  $t=0$

Comment cette cohérence spatiale va-t-elle évoluer au cours du temps ?

Evolution en l'absence d'interactions

$$\hat{\rho}(t) = e^{-i\hat{H}t/\hbar} \hat{\rho}(0) e^{i\hat{H}t/\hbar} \quad [T-181]$$

$\hat{H}$  : Hamiltonien en l'absence d'interactions

$$\hat{H} = \hat{H}_1 + \hat{H}_2 = E_0 (\hat{N}_1 + \hat{N}_2)$$

$E_0$  : Energie de l'état fondamental de l'hamiltonien à 1 particelle ( $E_0$  est identique pour les 2 condensats).

$$G^{(1)}(\vec{r}_1, \vec{r}_2, t) = \psi_1^*(\vec{r}_1) \psi_2(\vec{r}_2) \times \\ \text{Tr} \{ e^{-i\hat{H}t/\hbar} \hat{\rho}(0) e^{i\hat{H}t/\hbar} \hat{a}_{\psi_1}^+ \hat{a}_{\psi_2} \}$$

$$= \text{Tr} \{ \hat{\rho}(0) e^{i\hat{H}\bar{N}t/\hbar} \hat{a}_{\psi_1}^+ e^{-i\hat{H}\bar{N}t/\hbar} e^{i\hat{H}N_1t/\hbar} \hat{a}_{\psi_2} e^{-i\hat{H}N_1t/\hbar} \}$$

$$\hat{a}_{\psi_1}^+ e^{i\hat{H}\bar{N}t/\hbar} \quad \hat{a}_{\psi_2} e^{-i\hat{H}\bar{N}t/\hbar}$$

$$G^{(1)}(\vec{r}_1, \vec{r}_2, t) = \psi_1^*(\vec{r}_1) \psi_2(\vec{r}_2) \text{Tr} \{ \hat{\rho}(0) \hat{a}_{\psi_1}^+ \hat{a}_{\psi_2} \}$$

$$= \bar{N} \psi_1^*(\vec{r}_1) \psi_2(\vec{r}_2)$$

En l'absence d'interactions,  $G^{(1)}(\vec{r}_1, \vec{r}_2, t)$  n'évolue pas et la phase relative ne se brouille pas

Discussion qualitative du brouillage

Les seuls éléments de matrice non nuls de  $\hat{a}_{\psi_2}$  sont entre  $|N_2\rangle$  et  $\langle N_2+1|$  [T-183]

Les fréquences de Bohr apparaissant dans l'évolution de  $\hat{a}_{\psi_2}(t)$  sont donc toutes les fréquences  $[E(N_2) - E(N_2+1)]/\hbar$ , quand  $N_2$  varie dans un intervalle de largeur  $\sqrt{N}$  autour de  $\bar{N}$ . Comme  $E(N)$  n'est plus une fonction linéaire de  $N$ , ces fréquences vont être légèrement différentes les unes des autres et s'étendre sur un intervalle de largeur  $\Delta\omega$ .

Au bout d'un temps  $1/\Delta\omega$ , les battements entre ces diverses fréquences vont amortir  $G^{(1)}(\vec{r}_1, \vec{r}_2, t)$ .

Par ailleurs, comme  $N$  est discret, les différentes fréquences vont être séparées par des intervalles  $\Delta\omega$  à peu près égaux et il y aura donc des récurrences au bout d'un temps  $1/\delta\omega$ .

Evolution en présence d'interactions

On a toujours

$$\hat{\rho}(t) = e^{-i\hat{H}t/\hbar} \hat{\rho}(0) e^{i\hat{H}t/\hbar} \quad [T-182]$$

$$\hat{H} = \hat{H}_1 + \hat{H}_2$$

$$G^{(1)}(\vec{r}_1, \vec{r}_2, t) = \psi_1^*(\vec{r}_1) \psi_2(\vec{r}_2) \times \\ \text{Tr} \{ \hat{\rho}(0) \hat{a}_{\psi_1}^+(t) \hat{a}_{\psi_2}(t) \}$$

$$\hat{a}_{\psi_1}^+(t) = e^{i\hat{H}_1 t/\hbar} \hat{a}_{\psi_1}^+ e^{-i\hat{H}_1 t/\hbar}$$

$$\hat{a}_{\psi_2}(t) = e^{i\hat{H}_2 t/\hbar} \hat{a}_{\psi_2} e^{-i\hat{H}_2 t/\hbar}$$

Mais maintenant l'énergie d'un état  $|N_1\rangle$  du condensat 1 n'est plus égale à  $N_1 E_0$ . A cause des interactions, c'est une fonction  $E(N_1)$  qui n'est plus linéaire en  $N_1$ , mais contient des termes quadratiques.

On n'a donc plus une seule fréquence d'évolution dans la dépendance temporelle de  $\hat{a}_{\psi_1}^+(t)$  et  $\hat{a}_{\psi_2}(t)$ .

Etude quantitative

Expression de  $E_1(N)$  et  $E_2(N)$

$$E_1(N) = E_1(\bar{N}) + \underbrace{\frac{dE_1(N)}{dN}}_{M_1(\bar{N}) = \mu_1} \Big|_{N=\bar{N}} (N-\bar{N}) + \underbrace{\frac{1}{2} \frac{d^2E_1(N)}{dN^2}}_{\frac{1}{2}\mu_1'(\bar{N}) = \frac{1}{2}\mu'} \Big|_{N=\bar{N}} (N-\bar{N})^2$$

Expression analogue pour  $E_2(N)$

On suppose  $E_1(\bar{N}) = E_2(\bar{N}) = \bar{E}$

$$\mu_1 = \mu_2 = \mu \quad \mu'_1 = \mu'_2 = \mu'$$

$$E_1(N) = \bar{E} + \mu(N-\bar{N}) + \frac{1}{2}\mu'(N-\bar{N})^2$$

$$E_2(N) = \bar{E} + \mu(N-\bar{N}) + \frac{1}{2}\mu'(N-\bar{N})^2$$

Calcul de  $\hat{a}_{\psi_1}^+(t) = e^{i\hat{H}_1 t/\hbar} \hat{a}_{\psi_1}^+ e^{-i\hat{H}_1 t/\hbar}$

Les seuls éléments de matrice non nuls de  $\hat{a}_{\psi_1}^+$  sont entre  $|N\rangle$  et  $\langle N+1|$

$$\langle N+1 | \hat{a}_{\psi_1}^+(t) | N \rangle = e^{i[E(N+1) - E(N)]t/\hbar} \sqrt{N+1}$$

$$= e^{i\mu t/\hbar} e^{\frac{i}{2}\mu'[(N+1-\bar{N})^2 - (\bar{N}-N)^2]t/\hbar} \sqrt{N+1}$$

$$= e^{i[\mu - (\bar{N} - \frac{1}{2})\mu']t/\hbar} e^{i\mu'Nt/\hbar} \sqrt{N+1}$$

$$= e^{i[\mu - (\bar{N} - \frac{1}{2})\mu']t/\hbar} \langle N+1 | \hat{a}_{\psi_1}^+ e^{i\mu'\bar{N}t/\hbar} | N \rangle$$

On en déduit

$$\hat{a}_{\psi_1}^+ (t) = e^{i[\mu - (\bar{N} - \frac{1}{2})\mu']t/\hbar} \hat{a}_{\psi_1}^+ e^{i\mu' \hat{N}_1 t/\hbar}$$

Un calcul analogue donne

$$\hat{a}_{\psi_2}^+ (t) = e^{-i[\mu - (\bar{N} - \frac{1}{2})\mu']t/\hbar} e^{-i\mu' \hat{N}_2 t/\hbar} \hat{a}_{\psi_2}^+$$

de sorte que

$$G^{(1)}(\vec{r}_1, \vec{r}_2, t) = \psi_1^*(\vec{r}_1) \psi_2(\vec{r}_2) \frac{1}{2\pi} \int_0^{2\pi} d\theta,$$

$$\begin{aligned} & \langle A e^{i\theta_1} | A e^{i\theta_1} | \hat{a}_{\psi_1}^+ e^{i\mu' \hat{N}_1 t/\hbar} e^{-i\mu' \hat{N}_2 t/\hbar} \hat{a}_{\psi_2}^+ | A e^{i\theta_1} | A e^{i\theta_1} \rangle \\ &= \psi_1^*(\vec{r}_1) \psi_2(\vec{r}_2) \frac{1}{2\pi} \int_0^{2\pi} d\theta, \langle A e^{i\theta_1} | \hat{a}_{\psi_1}^+ e^{i\mu' \hat{N}_1 t/\hbar} | A e^{i\theta_1} \rangle \times \\ & \quad \langle A e^{i\theta_1} | e^{-i\mu' \hat{N}_2 t/\hbar} \hat{a}_{\psi_2}^+ | A e^{i\theta_1} \rangle \end{aligned}$$

Comme  $|A e^{i\theta_1}\rangle$  est ket propre de  $\hat{a}_{\psi_2}^+$  et que  $\langle A e^{i\theta_1}|$  est bra propre de  $\hat{a}_{\psi_1}^+$ , on a

$$G^{(1)}(\vec{r}_1, \vec{r}_2, t) = \psi_1^*(\vec{r}_1) \psi_2(\vec{r}_2) A^2 \frac{1}{2\pi} \int_0^{2\pi} d\theta,$$

$$\langle A e^{i\theta_1} | e^{i\mu' \hat{N}_1 t/\hbar} | A e^{i\theta_1} \rangle \langle A e^{i\theta_1} | e^{-i\mu' \hat{N}_2 t/\hbar} | A e^{i\theta_1} \rangle$$

Calcul de  $\langle A e^{i\theta_1} | e^{i\mu' \hat{N}_1 t/\hbar} | A e^{i\theta_1} \rangle$

T-186

$$|A e^{i\theta_1}\rangle = e^{-A^2/2} \sum_{N_1=0}^{\infty} \frac{A^{N_1}}{\sqrt{N_1!}} e^{iN_1 \theta_1} |N_1\rangle$$

$$\langle e^{i\mu' \hat{N}_1 t/\hbar} | A e^{i\theta_1} \rangle = e^{-A^2/2} \sum_{N_1=0}^{\infty} \frac{A^{N_1}}{\sqrt{N_1!}} e^{iN_1(\theta_1 + \frac{\mu' t}{\hbar})} |N_1\rangle$$

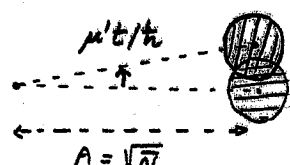
$$= |A e^{i(\theta_1 + \mu' t/\hbar)}\rangle$$

$$\langle A e^{i\theta_1} | e^{i\mu' \hat{N}_1 t/\hbar} | A e^{i\theta_1} \rangle = \langle A e^{i\theta_1} | A e^{i(\theta_1 + \mu' t/\hbar)} \rangle$$

On a de même

$$\langle A e^{i\theta_1} | e^{-i\mu' \hat{N}_2 t/\hbar} | A e^{i\theta_1} \rangle = \langle A e^{i\theta_1} | A e^{i(\theta_1 - \mu' t/\hbar)} \rangle$$

On voit ainsi apparaître le produit scalaire de 2 états cohérents  $|\alpha\rangle$  et  $|\beta\rangle$  où  $|\alpha\rangle$  et  $|\beta\rangle$  ont même module  $|\alpha| = |\beta| = A = \sqrt{N}$  et se déduisent l'un de l'autre par une rotation d'angle  $\mu' t/\hbar$  ou  $-\mu' t/\hbar$



Ces produits scalaires ne dépendent pas de  $\theta_1$ , ils sont complexes conjugués l'un de l'autre

### Résultat final

T-187

$$G^{(1)}(\vec{r}_1, \vec{r}_2, t) = \bar{N} \psi_1^*(\vec{r}_1) \psi_2(\vec{r}_2) |\langle A | A e^{i\mu' t/\hbar} \rangle|^2$$

Or, on a pour le produit scalaire de 2 états cohérents  $|\alpha\rangle$  et  $|\beta\rangle$  le résultat

$$|\langle \alpha | \beta \rangle|^2 = e^{-|\alpha - \beta|^2}$$

Ce produit scalaire tend très vite vers 0 quand  $|\alpha - \beta| > 1$

$$|A - A e^{i\mu' t/\hbar}| = 2A |\sin \frac{\mu' t}{2\pi}|$$

Comme  $A = \sqrt{N} \gg 1$ , on peut remplacer  $\sin \frac{\mu' t}{2\pi}$  par  $\frac{\mu' t}{2\pi}$  pour les valeurs de  $t$  telles que le produit scalaire n'est pas nul

On en déduit

$$\begin{aligned} G^{(1)}(\vec{r}_1, \vec{r}_2, t) &= \bar{N} \psi_1^*(\vec{r}_1) \psi_2(\vec{r}_2) e^{-A^2 \mu'^2 t^2 / \hbar^2} \\ &= \bar{N} \psi_1^*(\vec{r}_1) \psi_2(\vec{r}_2) e^{-\bar{N} \mu'^2 t^2 / \hbar^2} \end{aligned}$$

### Temps de cohérence $T_{coh}$

T-188

$$G^{(1)}(\vec{r}_1, \vec{r}_2, t) = \bar{N} \psi_1^*(\vec{r}_1) \psi_2(\vec{r}_2) e^{-(t/T_{coh})^2}$$

$$T_{coh} = \frac{\hbar}{\mu' \sqrt{N}}$$

La cohérence spatiale entre les 2 condensats s'amortit au bout d'un temps égal à  $T_{coh}$

Dans le régime de Thomas-Fermi, on a (voir T-18)  $\mu \propto N^{1/3}$ , de sorte que  $\mu' = \frac{d\mu}{dN} \Big|_{N=\bar{N}} = \frac{2}{5} \frac{\mu}{\bar{N}}$

$$T_{coh} = \frac{\hbar}{2} \frac{\bar{N}}{\mu}$$

$T_{coh}$  est typiquement de l'ordre de 1 sec

### Temps de récurrence $T_{rec}$

$\langle A | A e^{i\mu' t/\hbar} \rangle$  restant égal à 1 au bout d'un temps  $T_{rec}$  tel que  $\frac{\mu' T_{rec}}{\hbar} = 2\pi$  (les 2 cercles de T-186 ont fait un tour complet)

$$T_{rec} = \frac{2\pi \hbar}{\mu'} = \frac{\hbar}{d\mu/dN} = \frac{5}{2} \frac{\hbar \bar{N}}{\mu} \gg T_{coh}$$

Références

- (1) J. Cirac, C. Gardiner, M. Naraschewski, P. Zoller  
Phys. Rev. A 54, R 3714 (1996)
- (2) Y. Castin, J. Dalibard  
Phys. Rev. A 55, 4330 (1996)
- (3) M. Lewenstein, L. You  
Phys. Rev. Lett. 77, 3489 (1996)
- (4) E. Wright, D. Walls, T. Garrison  
Phys. Rev. Lett. 77, 2158 (1996)
- (5) K. Mølmer, Phys. Rev. A 58, 558 (1998)